

# Programmation multiGPU OpenMP *versus* MPI

**Gabriel Noaje, Michaël Krajecki, Christophe Jaillet**

[gabriel.noaje@univ-reims.fr](mailto:gabriel.noaje@univ-reims.fr)

**Équipe SysCom, Laboratoire CReSTIC  
Université de Reims Champagne-Ardenne, France**

17/02/2011

# Sommaire

## I. Introduction (GPU & multiGPU)

- *GPU*
- *GPU Computing*
- *Programmation de GPU*
- *Produit matriciel sur GPU (CUDA)*

## II. Gestion des architectures multi-cartes

## III. Résultats expérimentaux

## IV. Conclusions

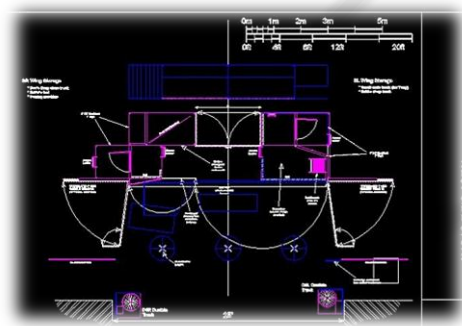
# Carte graphique (*Graphic Processing Unit - GPU*)



lecture de films



Animations 3D



CAO (Conception Assistée par Ordinateur)



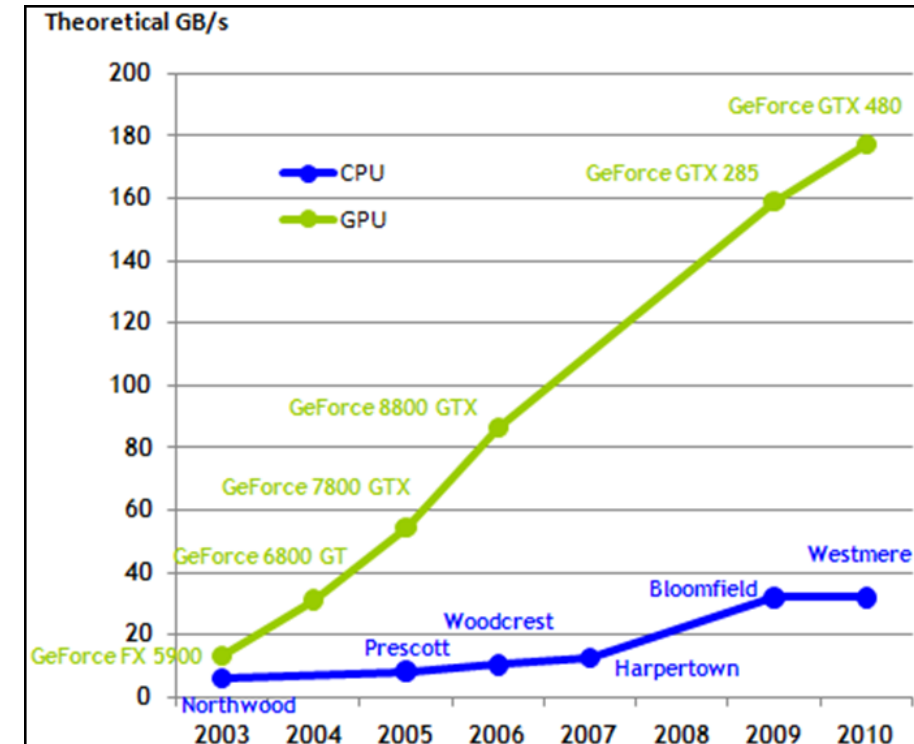
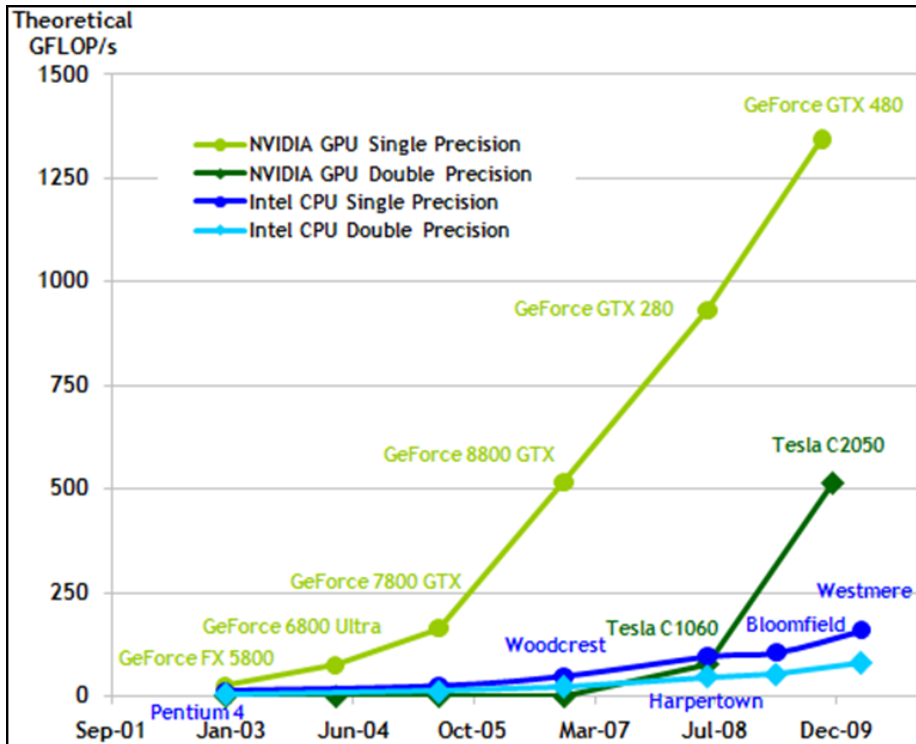
Jeux

# GPU, pourquoi ?

## PERFORMANCE !

puissance (GFLOPs)

mémoire (GB/s)



Credit: NVIDIA Programming Guide

- puissance de calcul supérieure aux processeurs classique (simple et double précision)
- accélérateurs matériels

- bande passante mémoire très importante (*mais juste à l'intérieur du GPU*)
- caractéristiques adaptées à **certain**s types de problèmes

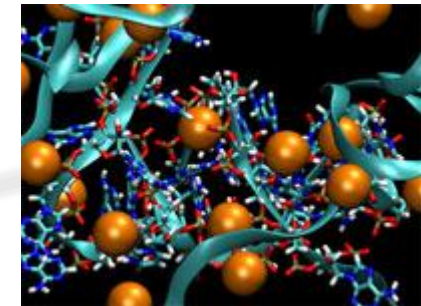
# GPU Computing



Analyse financière



Simulation météo



Docking moléculaire

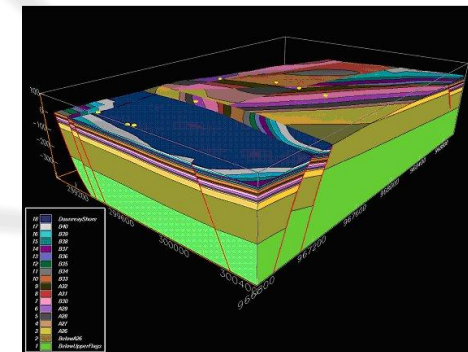
# GPU



Imagerie médicale



Détection de logiciels malveillants



Modélisation géologique

# Programmation de GPU

## Initialement – utilisation d’appels graphiques :

- Cg de NVIDIA
- HLSL de Microsoft

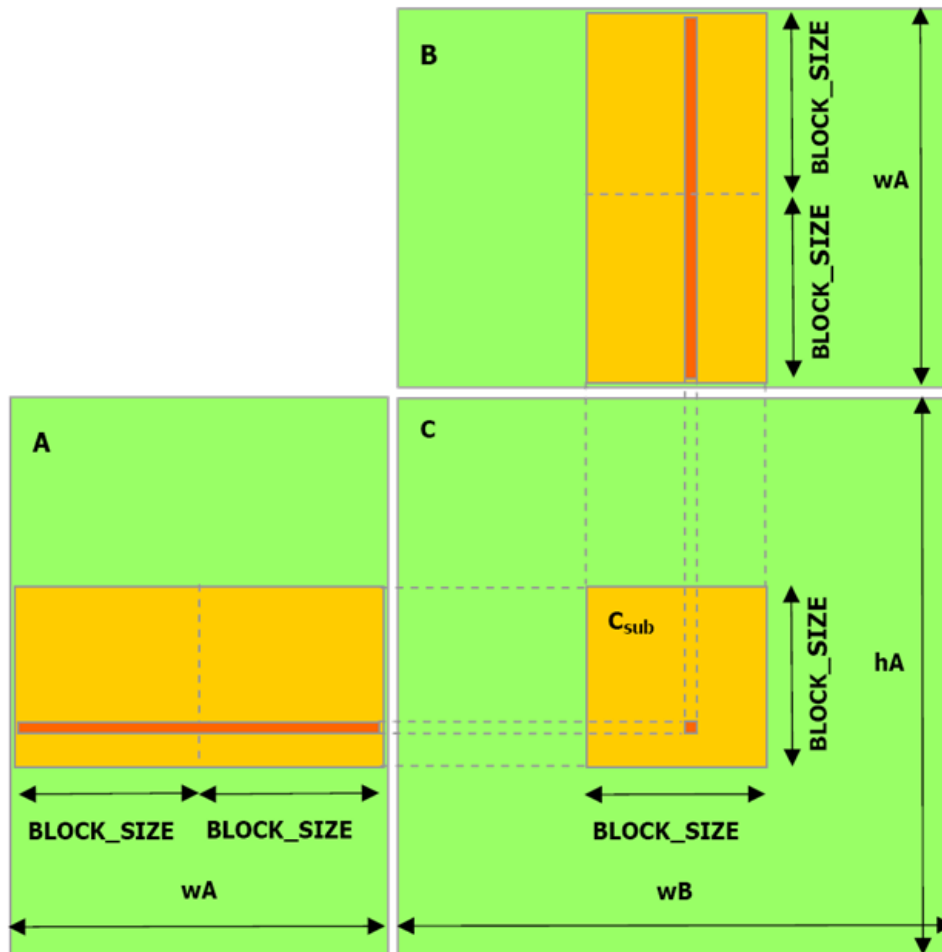
## Aujourd’hui – écosystème de programmation de GPU :

- ATI Stream de AMD
- CUDA de NVIDIA
- OpenCL de Khronos Group
- Direct Computing de Microsoft

**CUDA** ( bloqué sur le matériel NVIDIA = *aucune portabilité !* )

- = “**C**ompute **U**nified **D**evice **A**rchitecture”
- extension du standard ANSI C
- plus facile à apprendre (comparé à Cg, HLSL)
- ouvre l’architecture et donne à l’utilisateur un accès complet aux ressources

# Produit matriciel classique sur GPU (CUDA)



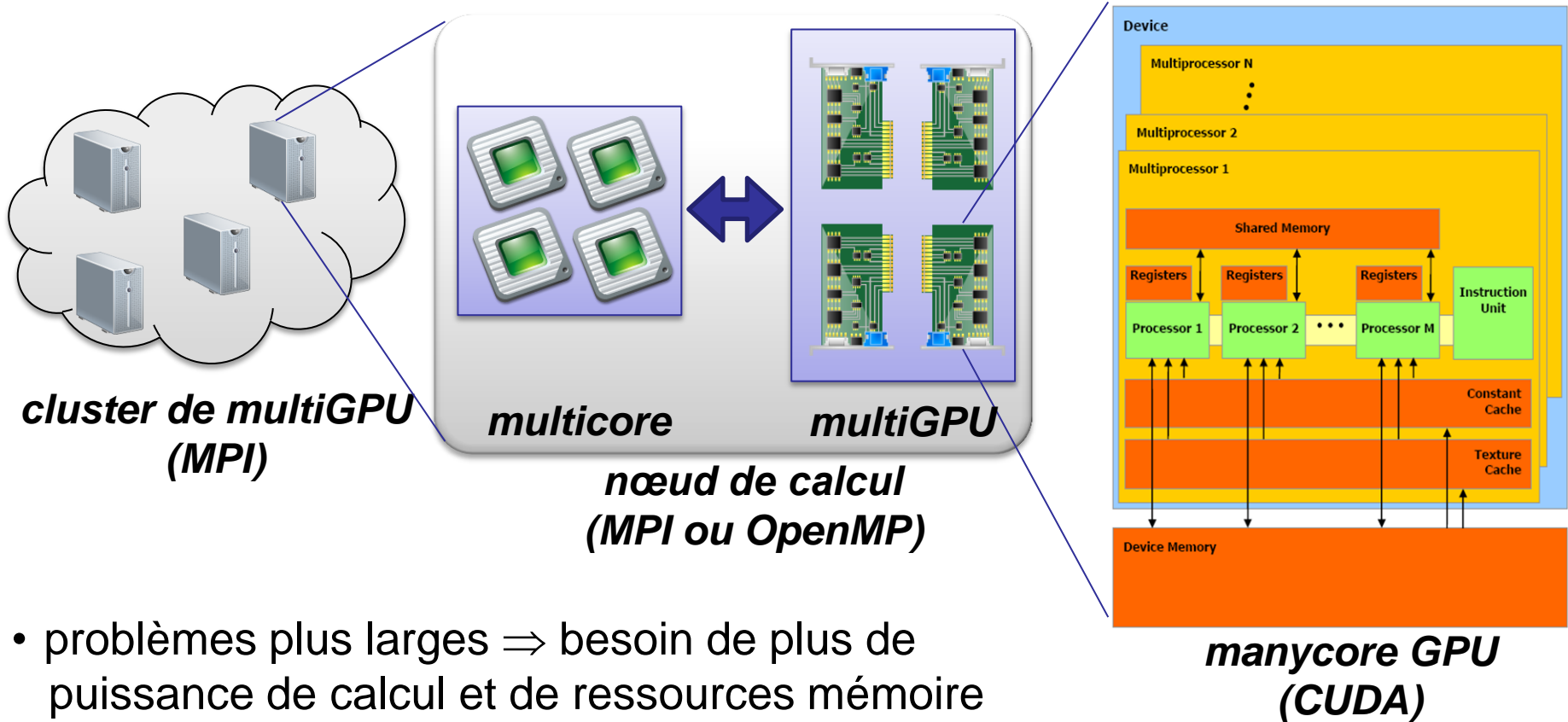
## Produit matriciel $C = A \times B$

- correspond au modèle d'exécution ( $C_{sub} \leftrightarrow$  block thread)
- utilise les différentes hiérarchies mémoire (mémoire globale, mémoire partagée)
- problème standard de calcul intensif  $\Rightarrow$  notre étude

# Sommaire

- I. Introduction (GPU & multiGPU)
- II. Gestion des architectures multi-cartes
  - *Environnement multiGPU*
  - *Contrôle des GPU avec OpenMP ou MPI*
  - *Produit matriciel (strategie MPI versus OpenMP)*
- III. Résultats expérimentaux
- IV. Conclusions

# Environnement multiGPU



- problèmes plus larges  $\Rightarrow$  besoin de plus de puissance de calcul et de ressources mémoire
- applications “simples” | multithread  
multiprocesseur

- OK avec n'importe quelle API multithread ou avec passage de messages
- régions de calcul intensif déportées sur GPU
- multithreading  $\perp$  CUDA

# Contrôle des GPU

	MPI	OpenMP
<i>environnement</i>	processus	thread
<i>mémoire</i>	distribuée	partagée
<i>échange des données</i>	explicite (passage des messages)	implicite (mémoire partagée)
<i>synchronisation</i>	explicite	explicite / implicite
<i>attachement à une carte graphique</i>	rang du processus	identifiant du thread

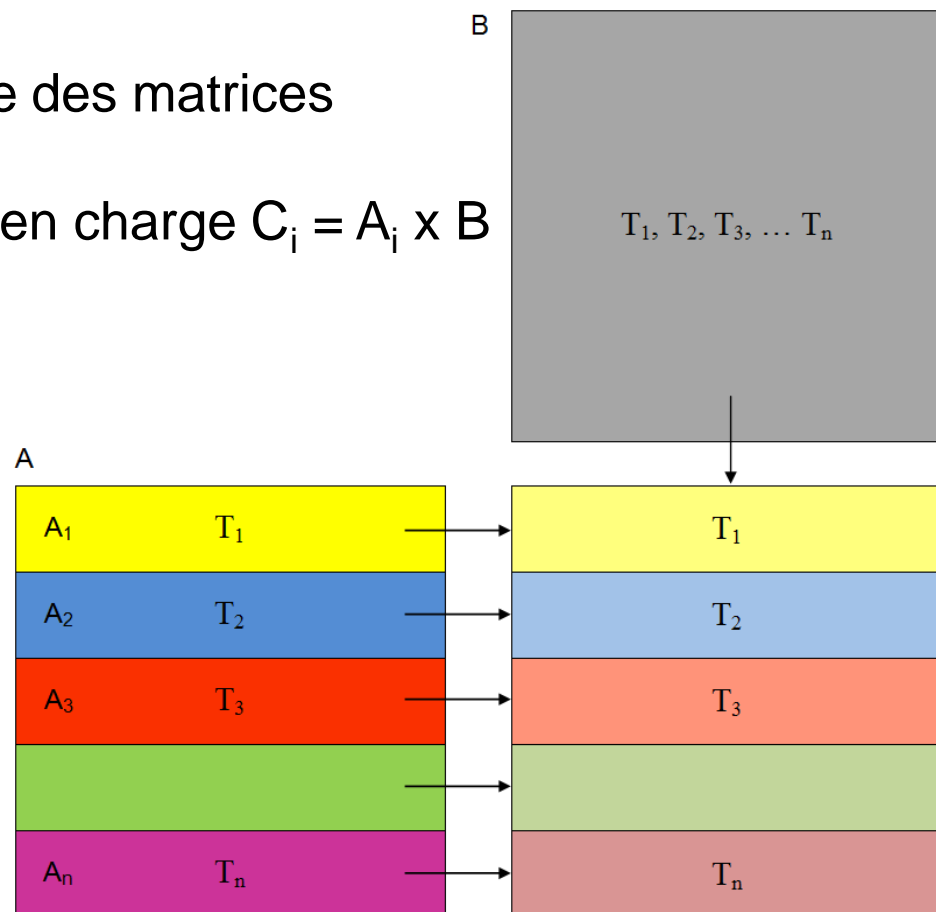
# Produit matriciel (1)

## Produit matriciel $C = A \times B$

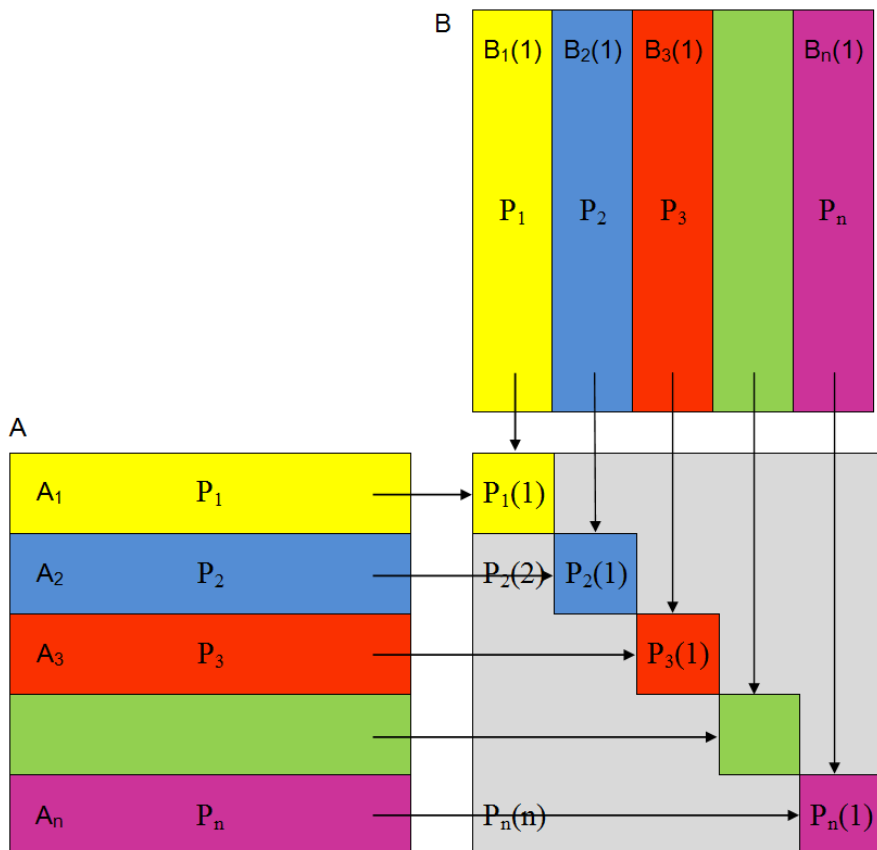
- matrices des grandes tailles
  - ⇒ diviser le travail ⇒ découpage des matrices
- partitionner la matrice A
  - ⇒ chaque unité de calcul prend en charge  $C_i = A_i \times B$

## Partitionnement OpenMP

- mémoire partagée
  - ⇒ plus de mémoire (nœud entier)
  - ⇒ matrice B non partitionnée
  - ⇒ pas d'effort de communication
- chaque thread s'attache à une carte
  - ⇒ allocation mémoire sur GPU
  - ⇒ transfert des blocs nécessaires (CPU → GPU)
  - ⇒ calcul (GPU)
  - ⇒ récupération des résultats (GPU → CPU)



# Produit matriciel (2)



## Partitionnement MPI

- mémoire distribuée
  - ⇒ matrice B découpée
  - ⇒ sous-matrices de B cyclées sur les processus
  - ⇒ celles de A restent fixes
- algorithme
  - ⇒ processus  $i$  attaché au GPU $_i$
  - ⇒ allocation mémoire (GPU) + transfert  $A_i$
  - ⇒ [à chaque pas]
    - transfert  $B_j$  (CPU→GPU)
    - $C_{ij} = A_i \times B_j$  (GPU)
    - transfert  $C_{ij}$  (GPU→CPU) || transfert  $B_j$  (CPU $_i$  → CPU $_{i-1}$ )
- communications MPI
  - ⇒ buffering
- stratégie du préchargement
  - recouvrement des communications MPI par des calculs GPU
  - coût de communication nul

# Sommaire

## I. Introduction (GPU & multiGPU)

## II. Gestion des architectures multi-cartes

## III. Résultats expérimentaux

- *Conditions expérimentales*
- *Comportement général (mesures de temps, irrégularités)*
- *Aspects spécifiques (pinned memory, recouvrement)*
- *Accélérations & limites des applications*

## IV. Conclusions

# Conditions expérimentales

## ***Nombre du threads***

- 1, 2 ou 4 threads/processus pour contrôler autant de cartes  
*4 threads/processus = utilisation complète du Tesla S1070*
- 8 threads/processus  $\Rightarrow$  situations de compétition  
deux threads/processus accèdent à une carte en même temps

## ***Les temps mesurés***

- **temps kernel** = temps nécessaire à calculer un bloc-ligne  $C_i$
- **temps de transfert mémoire CUDA** = temps total nécessaire pour les transferts CPU-GPU / GPU-CPU
- **temps application** = temps total de l'application (initialisation de l'environnement d'exécution, initialisations des matrices, transferts mémoire, calculs)

# Architecture matérielle



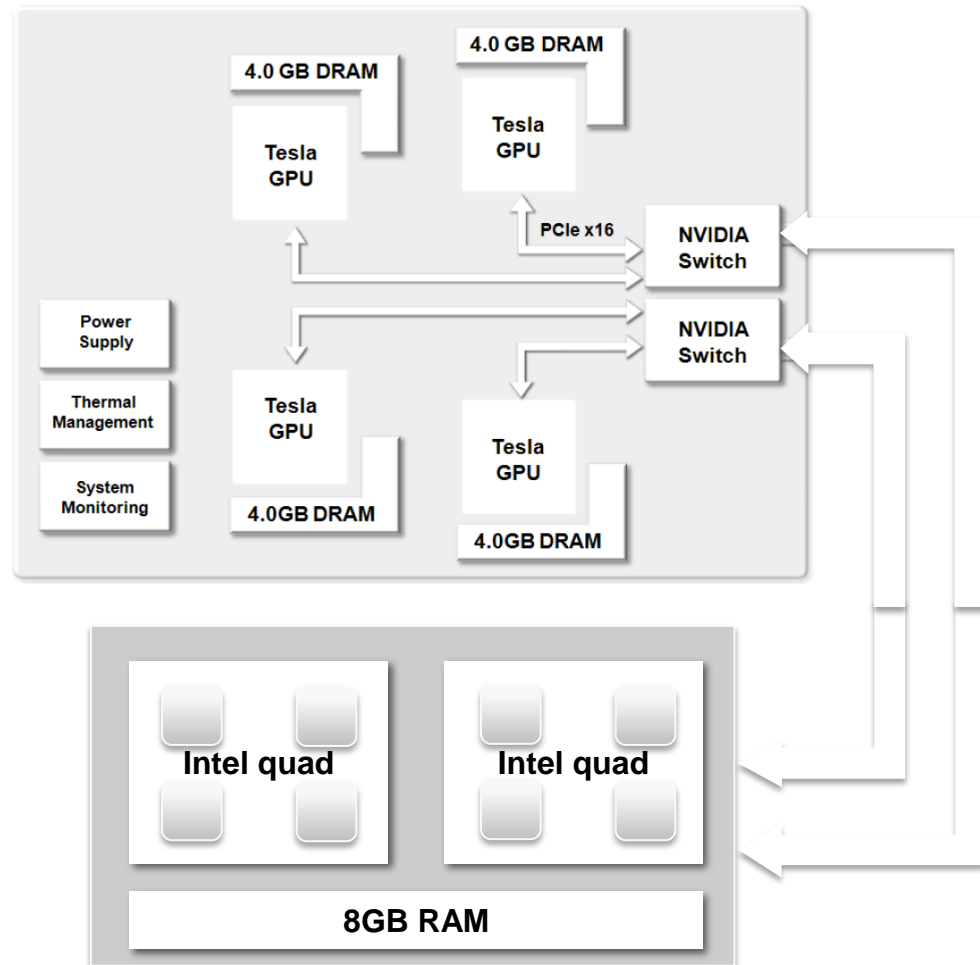
*ROMEO – Centre de Calcul de Champagne-Ardenne*

## NVIDIA Tesla S1070

- 4 cartes graphiques “standard”
- 4Go DRAM / carte
- interconnectées par deux bridges PCI Express
- deux cartes d’interface

## Serveur Bull NovaScale R425

- 2 quad-core Intel Xeon E5472
- 8Go mémoire vive DDR3



# Comportement général

## OpenMP (1, 2, 4 threads)

### Temps kernel :

constamment divisé par 2  
car le nombre de GPU double  
(dim. sous-matrices / 2)

### Temps application :

surcoût constant

- initialisation des environnements d'exécution
- allocations & initialisations de la mémoire hôte

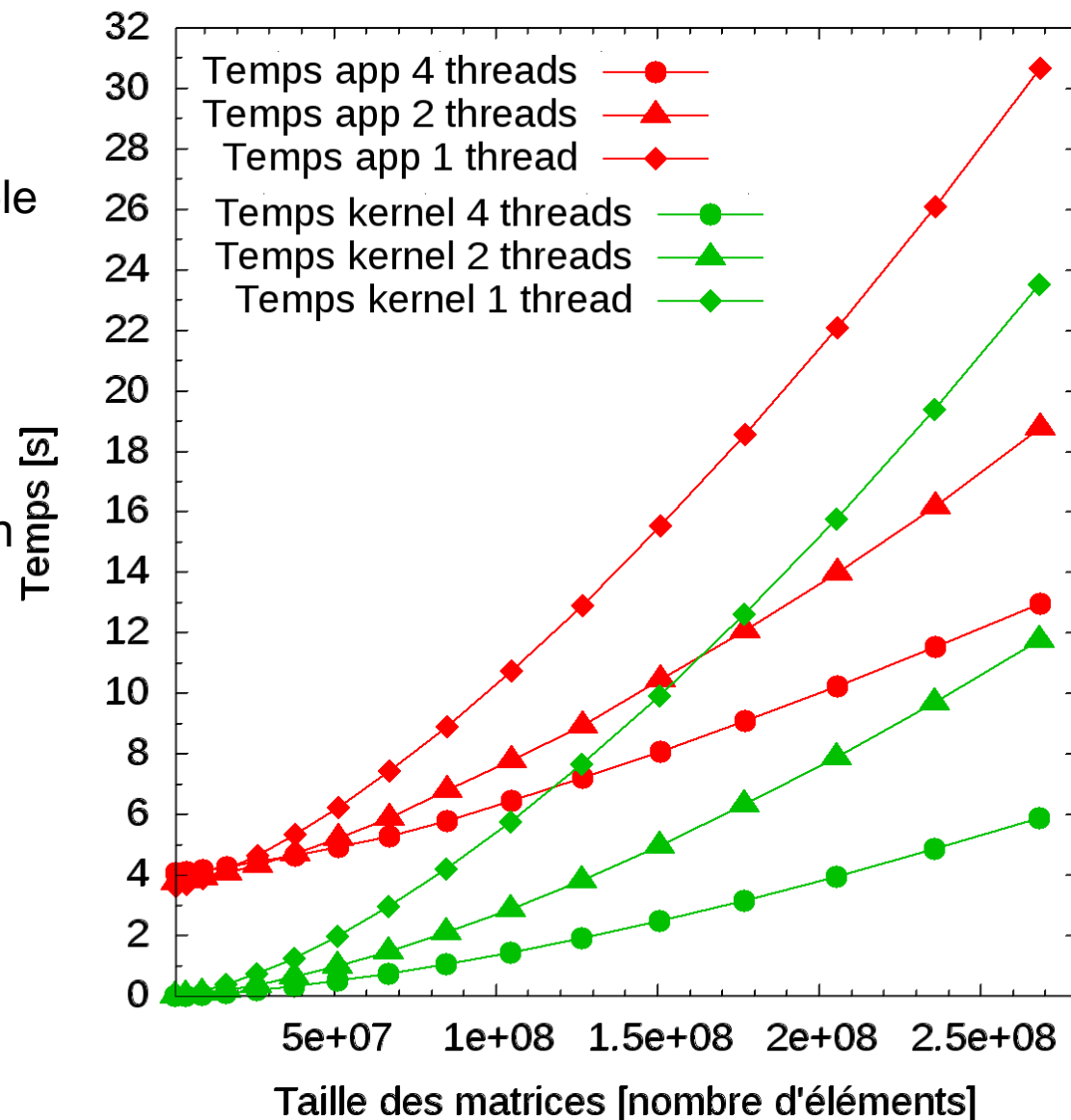
### Temps transfert CPU-GPU :

- faible
- croissance constante

## MPI

- même tendance
- surcoût plus important

## OpenMP temps kernel & application



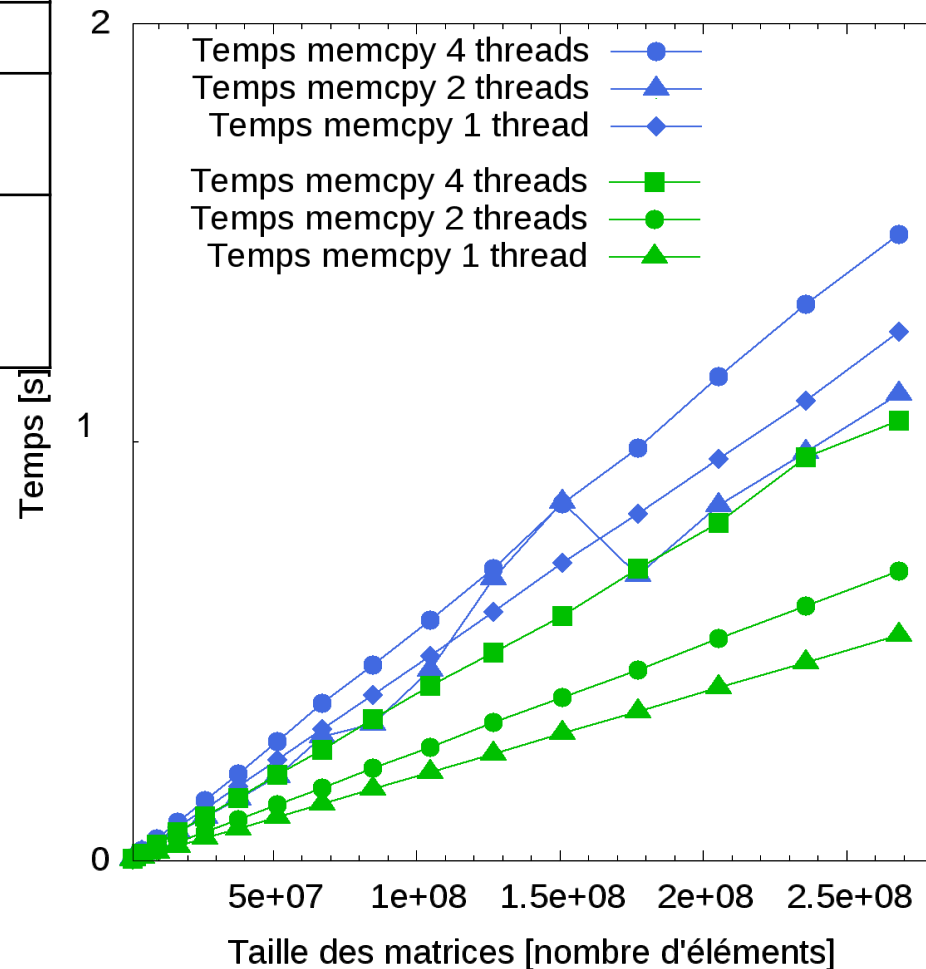
# Types d'allocation mémoire

	malloc classique	pinned memory
<i>environ- nement</i>	POSIX	CUDA
<i>fonction</i>	malloc	cudaHostAlloc
<i>localisation</i>	adresse variable (pagination)	même adresse
<i>swap</i>	oui	non + permet des transferts zero-copy

## Pinned memory

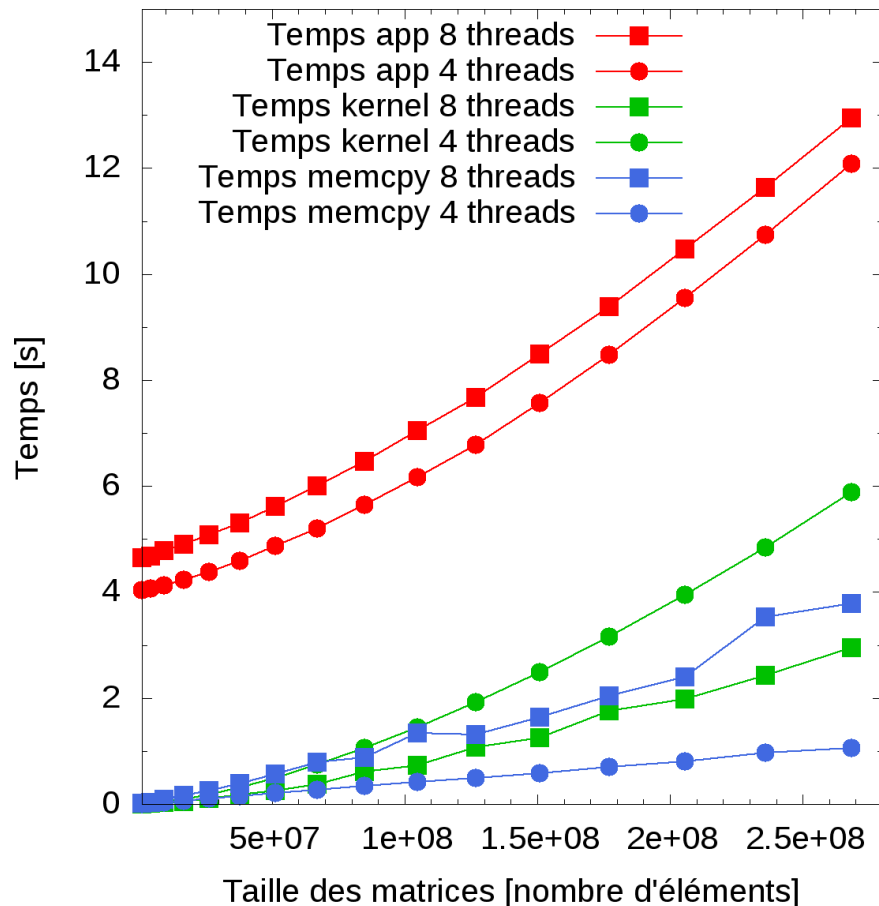
avantages	inconvénients
plus rapide	taille limitée
temps d'accès plus réguliers (pas de swap)	blocage du système en cas de sur- utilisation

## OpenMP temps memcopy (*malloc* / *cudaHostAlloc*)

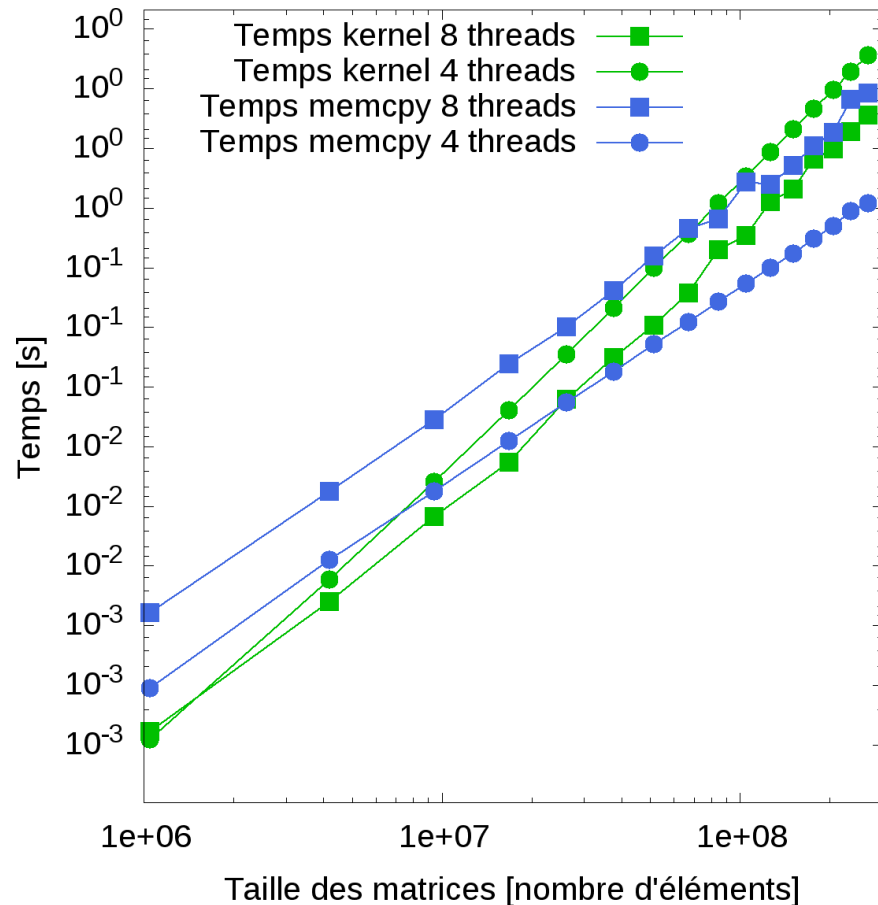


# 8 threads : concurrence pour ressources

Temps OpenMP – pinned memory



Temps OpenMP – pinned memory  
(échelle logarithmique)

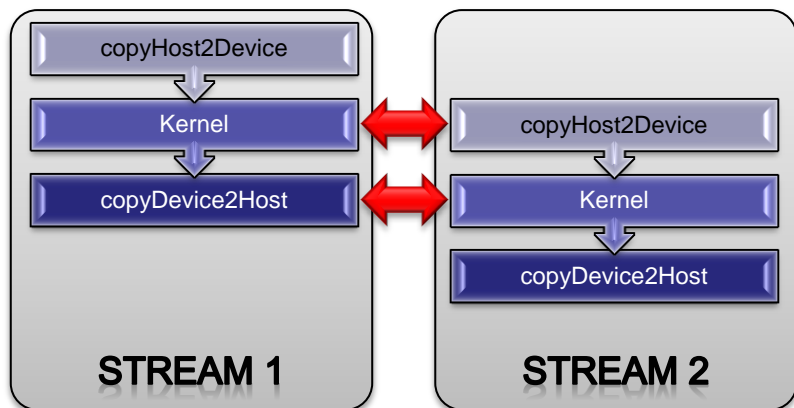


- temps kernel divisés par 2 (comme prévu)
- temps mémoire doublés à cause de la concurrence
- plus irrégulier (voir l'échelle logarithmique)

# Recouvrement des transferts mémoire GPU

## Principe :

- superposer les transferts CPU-GPU & l'exécution kernel
- *streams* (concept proche des threads)
- restriction : *pinned memory obligatoire*

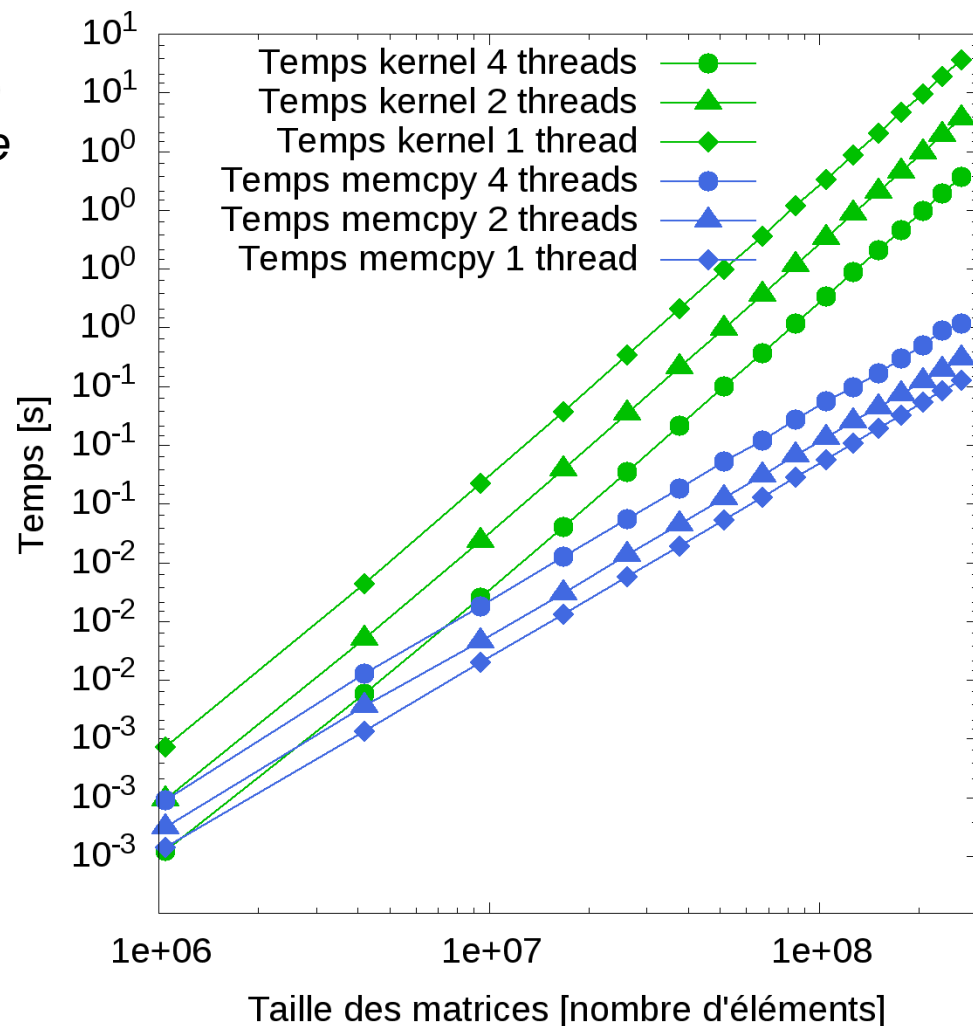


## Dans notre cas :

- Temps kernel  $\gg$  temps transferts  
 $\Rightarrow$  aucune amélioration

- ***Toujours envisager cette possibilité !***

## Temps OpenMP – pinned memory (échelle logarithmique)



# Accélération & limites des applications

## Limites des applications

- limites mémoire vive hôte  
vs. mémoire device
- différentes stratégies de partitionnement  
⇒ différentes limites mémoire  
(implémentation MPI ⇒  
2 matrices pour le buffering)  
⇒ OpenMP est meilleur

Dim. matrice	MPI				OpenMP			
	1	2	4	8	1	2	4	8
18432	Green	Green	Green	Green	Green	Green	Green	Green
20480	Red	Green	Green	Green	Red	Green	Green	Green
22528	Red	Red	Red	Red	Red	Green	Green	Red
24576	Red	Red	Red	Red	Red	Red	Green	Red

## Accélération

- 4 threads/processus = utilisation optimale du Tesla S1070 (4 cartes)
- dim. matrices  $\leq 18432 \times 18432$   
(plus large ⇒ aucun résultat pour un seul thread/processus)
- efficacité : OpenMP = 64% vs. MPI = 50.5%
- OpenMP meilleur que MPI (augmentation en taille matrice ; + surcoût MPI)

Accélération (4 threads/processus vs. 1 thread/processus)

Matrix dim	1024	2048	4096	6144	8192	10240	12288	14336	16384	18432
OpenMP	0.89	0.90	0.96	1.11	1.34	1.63	1.92	2.18	2.40	2.57
MPI	0.96	0.97	1.03	1.16	1.37	1.60	1.83	2.05	2.08	2.02

# Efficacité

- limite, mais juste par la taille mémoire
- autrement, croissance linéaire

*Performances obtenues suivant  
la taille des données*

Matrix dim. $n$ (x 1024)	Operations $n^3$ (x 1024 <sup>3</sup> )	Time $t$ (s)	Measured GFlops
1	1	4.03	0.27
2	8	4.06	2.12
10	1000	6.16	174.31
12	1728	7.57	245.10
22	10648	23.85	479.38
24	13824	29.40	504.88

# Sommaire

- I. Introduction (GPU & multiGPU)
- II. Gestion des architectures multi-cartes
- III. Résultats expérimentaux
- IV. Conclusions
  - *Discussion finale*
  - *Perspectives*

# Conclusions & perspectives

- aujourd'hui la norme : 1 CPU - 1 GPU
- nouveau challenge : **multiGPU**
  - pas de communication directe entre les cartes graphiques 
  - management extérieur  $\Rightarrow$  OpenMP / MPI
  - OpenMP est le plus approprié
    - ❖ effort de programmation raisonnable
    - ❖ meilleures performances en termes de temps d'exécution et de scalabilité
  - stratégies d'optimisation additionnelles :  
*pinned memory*, recouvrement

## Perspectives

= grappes de nœuds multiGPU, avec trois niveaux :

- communication inter-nœuds  $\Rightarrow$  processus MPI (mémoire distribuée)
- gestion d'un nœud multiGPU  $\Rightarrow$  threads OpenMP (mémoire partagée)
- calcul, au sein des GPU

# Programmation multiGPU OpenMP *versus* MPI

# Questions ?

Contact: [gabriel.noaje@univ-reims.fr](mailto:gabriel.noaje@univ-reims.fr)